

·论著·

类固醇受体辅活化子-3 在急性胰腺炎患者外周血中的表达及意义

李佳¹, 李莹², 尹扬光¹, 史忠^{1△}

(第三军医大学新桥医院:1. 急救部;2. 心内科, 重庆 400037)

摘要:目的 探讨类固醇受体辅活化子-3(SRC-3)在急性胰腺炎(AP)患者外周血中的表达及意义。方法 采用 RT-PCR 和 Western blot 技术分别测定在重症急性胰腺炎(SAP)组、轻症急性胰腺炎(MAP)组和正常对照(NC)组患者外周血中的 SRC-3 mRNA 转录情况和蛋白表达水平。结果 SRC-3 mRNA 及蛋白在 SAP 组、MAP 组和 NC 组患者外周血中的表达存在差异, 其表达水平依次降低($P < 0.01$)。结论 SRC-3 的表达与 AP 的严重程度有关, 炎症越重, 其表达越高。

关键词:胰腺炎;类固醇受体辅活化子-3;基因转录;蛋白质表达;病情严重程度

doi:10.3969/j.issn.1671-8348.2010.15.024

中图分类号:R657.51; R446.61

文献标识码:A

文章编号:1671-8348(2010)15-1995-03

Expression and significance of steroid receptor coactivator-3 in the acute pancreatitis

LI Jia¹, LI Ying², YIN Yang-guang¹, et al.

(1. Emergency Department; 2. Department of Cardiovascular Diseases, Xinqiao Hospital, Third Military Medical University, Chongqing 400037, China)

Abstract: Objective To evaluate the expression and significance of steroid receptor coactivator-3(SRC-3) in polymorph nuclear neutrophils during patients with acute pancreatitis. **Methods** RT-PCR and Western blotting were used to detect mRNA levels and the protein expression of SRC-3 in blood from the patients with severe acute pancreatitis(SAP), mild acute pancreatitis(MAP) and normal control people(NC). **Results** RT-PCR and Western blotting analysis showed that there were significant difference of SRC-3 expression in blood from SAP, MAP and NC group both in mRNA level($P < 0.01$) and protein level($P < 0.01$), and were gradually decreased. **Conclusion** The expression of SRC-3 closely correlates with the severity of the disease. SRC-3 expresses more while the inflammation is more serious.

Key words: pancreatitis; steroid receptor coactivator-3; genetic transcription; protein expression; severity of pathogenetic condition

急性胰腺炎(acute pancreatitis, AP)是临幊上常见的急腹症, 大多数为轻症急性胰腺炎(mild acute pancreatitis, MAP), 但少部分的胰腺炎发展成重症急性胰腺炎(severe acute pancreatitis, SAP), 引起全身炎症反应综合征(systemic inflammatory response syndrome, SIRS), 并逐渐发展为多器官功能不全综合征(multiple organ dysfunction syndrome, MODS), 病死率高。SAP 术后患者生理及心理健康评分均较正常对照组低, 远期生存质量较差^[1]。有研究发现, 类固醇受体辅活化子-3(steroid receptor coactivator-3, SRC-3)作为类固醇受体辅活化子家族成员, 除与乳腺癌^[2]、卵巢癌^[3]等肿瘤的发生、转移相关外, 与烧伤小鼠模型中的炎症因子的调控也有关系^[4], 而 SRC-3 在 AP 的表达及机制尚不清楚。本实验从 mRNA 水平及蛋白水平检测 SRC-3 在 AP 患者血清中的表达, 旨在探讨其在 AP 临幊诊断和治疗中的价值。

1 临幊资料

1.1 一般资料 收集本院急诊科 2009 年 6 月至 2010 年 1 月住院的 AP 患者 39 例, 其中 SAP 组 18 例, 男 10 例, 女 8 例; 年龄 30~58 岁, 平均(46.35±14.24)岁。MAP 组 21 例, 男 13 例, 女 8 例; 年龄 39~74 岁, 平均(52.75±15.74)岁。正常对照(NC)组 15 例, 为正常志愿者, 男 7 例, 女 8 例; 年龄 22~60 岁, 平均(35.58±11.57)岁。各组在年龄、性别构成方面比较, 差异均无统计学意义。

1.2 诊断标准 AP 诊断均符合中国 AP 诊治指南^[5]。不包括由胰腺肿瘤、手术、创伤、妊娠等引起的胰腺炎患者及 48 h 内死亡的暴发性胰腺炎患者。入院后患者均给予 AP 常规治疗。

1.3 实验方法及检测指标

1.3.1 提取单核细胞 NC 组于检测日清晨, SAP、MAP 组于诊断明确后 24 h 内空腹采集静脉血 40 mL, 分置于含肝素液的干燥抗凝管内, 摆匀待分离。每管加入 6% 葡聚糖生理盐水 10 mL, 37 °C 水浴中静置 60 min。将淋巴细胞分离液平衡至室温, 抽取其中 20 mL 加入另一 50 mL 离心管 A 内。吸取抗凝血上层缓慢加入淋巴细胞分离液中, 静置 5 min; 20 °C、2 000 r/min(离心半径 3 cm)离心 20 min。当溶液分 4 层时, 弃去第 1 层和第 2 层, 加入等体积红细胞裂解液(NHCl 8.29 g, KHCO₃ 1 g, EDTA 0.37 g, 加 ddH₂O 至 1 L, 新鲜配置)混匀, 冰上裂解 15 min; 4 °C、1 000 r/min(离心半径 3 cm)离心 10 min。见管底有沉淀后再次加入等体积红细胞裂解液, 混匀, 冰上裂解 10 min; 4 °C、1 000 r/min(离心半径 3 cm)离心 10 min, 去上清液。以磷酸盐缓冲液(PBS)10 mL 洗涤细胞沉淀, 4 °C、1 000 r/min(离心半径 3 cm)离心 5 min, 2 次。收集适量细胞进行以下实验。

1.3.2 逆转录聚合酶链反应(RT-PCR)检测 SRC-3 mRNA 水平 取 5×10^7 个细胞, 采用小量柱离心式总 RNA 抽提试剂盒

△ 通讯作者, 电话:13228685385; E-mail:xinqiaosz1106@sina.com

(上海华舜生物工程有限公司), 按试剂盒说明书抽提上述细胞 RNA, 最后用 DEPC 处理水溶解 RNA。提取的总 RNA 经紫外分光光度计测定提取物浓度, A₂₆₀/A₂₈₀ 比值在 1.8~2.0。运用 PrimeScript™ RT-PCR 试剂盒(TaKaRa)合成样本 cDNA, 4℃ 保存备用。

SRC-3 上游引物: 5'-TGT TTC CGT CTC GAT TCA CCA-3', 下游引物: 5'-GAT TAG GAG AAA ACT TGG ATC C-3', 扩增产物长度为 392 bp, β-actin 上游引物: 5'-GCT GTC CCT GTA TGC CCT CT-3', 下游引物: 5'-TTG ATG TCA CGC ACG ATT T-3', 扩增产物长度为 222 bp。

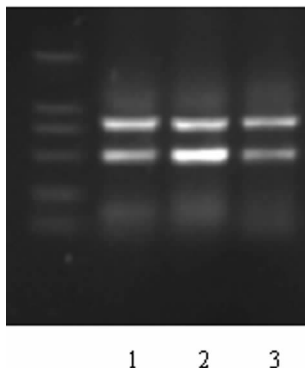
SRC-3 基因及 β-actin 基因 PCR 引物由上海生物工程公司合成。反应体系: 反应体积为 50 μL, cDNA 5 μL, 引物浓度 0.1 nmol/L, taq 酶 2.5 u。反应条件: 94℃ 预变性 1 min, 94℃ 变性 30 s, 57℃ 退火 30 s, 72℃ 延伸 1 min, 共 30 个循环, 最后 72℃ 延伸 5 min。反应产物在 1.5% 琼脂糖凝胶电泳, 经紫外凝胶呈像分析系统分析目的片段扩增带和 β-actin 扩增带, 用两者灰度值比值表示 SRC-3 mRNA 相对含量。不同组之间 RT-PCR 实验均重复 5 次。

1.3.3 Western blot 检测 SRC-3 蛋白表达水平 上述细胞提取物分别于 4℃ 低温离心 12 000 r/min(离心半径 3 cm)离心 30 min, 吸取上清液至 Eppendorf 管中, 蛋白定量应用 Bradford 法, 8% SDS-PAGE 电泳分离等量样品裂解液, 转膜在 PVDF 膜上进行, 电转 1 h(250 mA), 将含 5% 脱脂奶的 PBST 封闭滤膜 1 h, 加入一抗(兔抗 SRC-3 多克隆抗体作为一抗, 工作浓度为 1:50), 4℃ 孵育过夜, 辣根过氧化物酶耦联的二抗, 孵育 1 h, PBST 洗涤 3 次, ECL 化学发光自显影, 用凝胶成像系统进行分析。不同组之间 Western blot 实验均重复 5 次。

1.4 统计学方法 结果以 $\bar{x} \pm s$ 表示, 采用 SPSS13.0 统计软件处理, 采用成组设计的方差分析。以 $P < 0.05$ 为差异有统计学意义。

2 结 果

2.1 SRC-3 mRNA 表达水平 SAP 组、MAP 组、NC 组的 RT-PCR 产物在 392 bp 左右出现特异条带, 与 SRC-3 片断大小相符, 即在 3 组中均有表达, 其半定量结果分别为 1.159 ± 0.049、0.785 ± 0.128、0.355 ± 0.076。SAP 组表达高于 MAP 组, NC 组表达量相对较低, 差异有统计学意义, 见图 1、2。

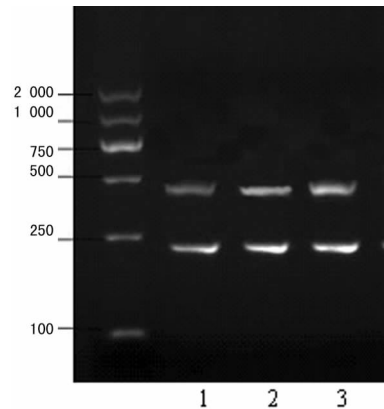


1:SAP 组;2:MAP 组;3:NC 组。

图 1 RNA 变性凝胶电泳结果

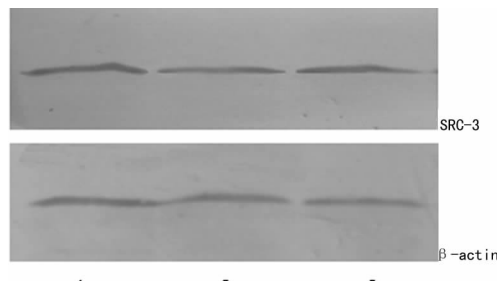
2.2 SRC-3 蛋白表达水平 SRC-3 在 SAP 组、MAP 组、NC 组均有表达, 其半定量结果分别为 2.125 ± 0.067、1.474 ± 0.275、0.778 ± 0.085, SAP 组高于 MAP 组, 差异有统计学意

义($P < 0.05$), 见图 3。



1:NC 组;2:MAP 组;3:SAP 组。

图 2 SRC-3 mRNA 的表达



1:SAP 组;2:MAP 组;3:NC 组。

图 3 SRC-3 蛋白的表达

3 讨 论

SRC-3 又称为 NCOA3、RAC3、P/CIP、AIB1, 最早是在寻找乳腺癌中频繁扩增的基因时发现的, 是 P160 类固醇受体辅活化子家族成员之一, SRC 基因编码相对分子质量为 160×10^3 的辅活化子, 此家族还包括 SRC-1 和 SRC-2。近年来发现它与恶性肿瘤密切相关, SRC-3 除了在多种激素依赖性肿瘤, 如乳腺癌、卵巢癌、前列腺癌^[6]、子宫内膜癌^[7]等中有过量表达外, 还发现其在一些非激素依赖性肿瘤, 如食管癌^[8]、鼻咽癌^[9]、膀胱癌^[10]等实体肿瘤中过量表达, 且与肿瘤的复发与转移有密切关系, 而在对应正常组织、良性肿瘤或增殖性病变中呈不表达或表达较弱。因此有学者认为 SRC-3 可作为肿瘤诊断的检测指标之一。近年来研究发现 SRC-3 可作为受体蛋白聚集其他的辅活化子和基本转录结构到启动子上, 调节多个重要信号通路, 如胰岛素样生长因子 IGF-1/Akt 通路^[10-11]和核因子-κB(NF-κB)^[12]途径等, 从而调控一系列细胞过程, 包括细胞生长、存活及迁移等, 故 SRC-3 浓度和活性变化明显影响许多基因的表达, 从而调控一系列细胞过程。

在 NF-κB 信号通路过程中, SRC-3 主要通过影响 NF-κB 的阻遏亚单位(IκB)被 IκB 激酶(IKK)磷酸化的过程来活化 NF-κB^[13]。SRC-3 与 IKK 结合后磷酸化 IκB, 使其降解并释放 NF-κB, 使 NF-κB 入核后活化, 从而增强 NF-κB 介导的基因表达。目前研究表明, NF-κB 活化后能上调各种细胞因子和炎症介质, 如 TNF-α、IL-6、IL-1β 等的表达^[14], 另外许多与中性粒细胞黏附和聚集相关的受体表达, 如 ICAM-1 等也都通过 NF-κB 途径激活。

本研究表明, SRC-3 在基因水平和蛋白水平上 SAP 组患者明显高于 MAP 组及 NC 组, 表明 SRC-3 可能对细菌感染后

机体的炎症反应有重要的调控作用,因此认为 SRC-3 能在一定程度上反应炎症严重程度,可作为判断病情严重程度和病情预后的指标之一,但其具体的调控途径和机制尚有待于进一步研究。

参考文献:

- [1] 刘红.急性胰腺炎术后远期生存质量评价[J].安徽医药,2009,13(7):855.
- [2] Zhao W,Zhang Q,Kang X,et al. AIB1 is required for the acquisition of epithelial growth factor receptor-mediated tamoxifen resistance in breast cancer cells[J]. Biochem Biophys Res Commun,2009,380(3):699.
- [3] 韩肖燕,陈悦,侯敏敏,等.卵巢上皮性交界性肿瘤中 AIB1 蛋白的表达及意义[J].中华妇幼临床医学杂志,2008,6(4):17.
- [4] 李军,粟永萍,王军平,等.烧伤后小鼠类固醇受体辅活化子的表达变化[J].创伤外科杂志,2007,9(3):264.
- [5] Chart WM,Lai TY,Lai RY,et al. Half-Dose verteporfin photodynamic therapy for acute central serous chorioretinopathy one-year result of a randomized controlled trial [J]. Ophthalmolgy,2008,115(10):1756.
- [6] Yan J,Erdem H,Li R,et al. Steroid receptor coactivator-3/AIB1 promotes cell migration and invasiveness through focal adhesion turnover and matrix metalloproteinase expression[J]. Cancer Res,2008,68:5460.
- [7] Sakaguchi H,Fujimoto J,Sun WS,et al. Clinical implications of steroidreceptor coactivator(SRC)-3 in uterine endometrial cancers[J]. J Steroid Biochem Mol Biol,2007,
- [8] Xu FP,Xie D,Wen JM,et al. SRC-3/AIB1 protein and gene amplification levels in human esophageal squamous cell carcinomas[J]. Cancer Lett,2007,245:69.
- [9] Liu MZ,Xie D,Mai SJ,et al. Overexpression of AIB1 in nasopharyngeal carcinomas correlates closely with advanced tumor stage[J]. Am J Clin Pathol,2008,129:728.
- [10] Luo JH,Xie D,Liu MZ,et al. Protein expression and amplification of AIB1 in human urothelial carcinoma of the bladder and overexpression of AIB1 is a new independent prognostic marker of patient survival [J]. Int Cancer,2008,122:2554.
- [11] Rui L,Yan C,Ling-lan Z,et al. Gambogic acid induces G0/G1 arrest and apoptosis involving inhibition of SRC-3 and inactivation of Akt pathway in K562 leukemia cells [J]. Toxicology,2009,262:98.
- [12] Gao Z,Chiao P,Zhang X,et al. coactivator and corepressors of NF- κ B in IkappaB alpha gene promoter[J]. Biol Chem,2005,280:21091.
- [13] Li C,Yao YL,Xin HF,et al. Essential phosphatases and a phospho-degron are critical for regulation of SRC-3/AIB1 coactivator function and turnover [J]. Molecular Cell,2008,31(6):835.
- [14] 黄小兵,梁平. NF- κ B 在感染和炎症促进肿瘤发生及发展中的作用[J].重庆医学,2008,37(23):2741.

(收稿日期:2010-02-25 修回日期:2010-04-25)

(上接第 1994 页)

参考文献:

- [1] Gloor B,Muller CA,Worni M,et al. Late mortality in patients with severe acute pancreatitis[J]. Br Surg,2001,88:975.
- [2] Vege SS,Chari ST,Petersen BT,et al. Endoscopic retrograde cholangio pancreatography—induced severe acute pancreatitis[J]. Pancreatology,2006,6:527.
- [3] Gullo L,Migliori M,Olah A,et al. Acute pancreatitis in five European countries: etiology and mortality[J]. Pancreas,2002,24:223.
- [4] 巫协宁.重症胰腺炎的规范化治疗和治疗策略[J].中华消化杂志,2001,21(5):300.
- [5] 王兴鹏,许国铭,袁耀琼,等.中国急性胰腺炎诊治指南(草案)[J].中华内科杂志,2004,43(3):236.
- [6] 王家良,刘鸣.循证医学[M].北京:人民卫生出版社,2001:177.
- [7] Egger M,Smith GD,Altman DG. Systematic Reviews in Heath Care[M]. 2th ed. London:Tavistock Square,2001:73.
- [8] Jadad AR,Moore A,Carrol D,et al. Assessing the quality of reports of randomized clinical trials: Is blinding necessary[J]. Control Clin Trials,1996,17:1.

- [9] 彭燕,王忠琼,李云,等.柴芍承气汤对重症急性胰腺炎并发肠麻痹的治疗作用[J].四川医学,2003,24(6):571.
- [10] 王超,周喜汉,尹毅霞,等.柴芍承气汤综合治疗重症急性胰腺炎并胃肠功能衰竭临床疗效观察[J].右江医学,2007,35(3):240.
- [11] 吕春艳,李莉,张春艳,等.多蒙特联合柴芍承气汤治疗重症胰腺炎的临床观察[J].中国误诊学杂志,2007,7(30):7237.
- [12] 汤华伦.急性重症胰腺炎的中西医结合非手术治疗[J].中国中西医结合外科杂志,2006,12(2):86.
- [13] 王国品,腾晓琨,杨莉,等.柴芍承气汤对重症急性胰腺炎及其并发症的作用[J].中国厂矿医学,2006,19(2):100.
- [14] 何俊,何庆玲,陈忠华,等.生长抑素联合柴芍承气汤鼻饲和生大黄灌肠治疗重症急性胰腺炎 50 例分析[J].重庆医学,2008,37(22):2603.
- [15] 樊宏伟,丁小琳.生长抑素联合元胡柴芍承气汤治疗重症胰腺炎的临床研究[J].胰腺病学,2005,5(1):33.
- [16] 尹燕华.中西医结合治疗急性重症胰腺炎的疗效观察[J].现代中西医结合杂志,2008,17(3):3624.
- [17] 唐毅,陈拥军,姚勇,等.中西医结合治疗重症胰腺炎疗效观察[J].重庆医学,2003,32(12):1732.

(收稿日期:2009-12-18 修回日期:2010-01-09)